直接軸引張試験によるSFRCの引張疲労特性に関する一考察

摂南大学 正会員 平城弘一 住友大阪セメント(株) 正会員 水越睦視 摂南大学 福島智行 住友大阪セメント(株) 青木真材

1. はじめに

コンクリート構造物の長寿命化を図る一方法として,RC 部材の引張部にひび割れ抵抗性に優れた鋼繊維補強コンクリート(SFRC)を使用することが考えられる. 道路橋 RC 床版など疲労荷重を受ける部位への適用を想定した場合,SFRC の引張疲労特性の把握が必要となる. 引張部 SFRC の疲労性能評価は,筆者らを始め曲げ疲労試験によりなされているものの 1),直接軸引張疲労試験は実施されていない. 直接軸引張試験により疲労荷重を適切に与えるには,高度な試験技術を要するからである. しかし,直接引張載荷の場合,曲げ載荷のような応力勾配はなく,断面内の応力は一様であり,力学挙動を比較的簡単に扱うことができ,鋼繊維(SF)の分散や配向の影響,SF の付着特性などを検討し易いという利点を有している.

本研究では,SFRC の直接軸引張疲労試験を SF 無混入のプレーンコンクリート(PL)との比較で行い,SFRC の引張疲労特性を検討した.

2.実験概要

2.1 試験体の種類

供試体の種類とコンクリートの配合を表-1 に,使用したコンクリートの物性を表-2 に示す.試験体は,図-1 のような $100\times100\times410$ mm の角柱で中央部の両側面に深さ 15 mmの切欠きを設けている.鋼繊維は,寸法 $0.5\times0.5\times30$ mm の波形せん断品(比重 7.85,引張強度 =736N/mm²,ヤング率=206kN/mm²)を使用した.

2.2 試験方法

疲労試験の概要を図-1 に示す.供試体の試験機への定着は,コンクリート中に埋め込んだネジ切り棒を両端部プレートに固定することにより行った.疲労試験は,軸引張により,正弦波形の繰返し荷重を載荷速度 5Hz で与え,早強セメントを用いたコンクリートの強度が安定する材齢 14 日以降に行った.載荷荷重は,疲労試験開始時に行った3 体の静的試験結果を基に決定した.上限荷重は,平均破壊荷重の70~90%の範囲で数水準選び,下限荷重は平均破壊荷重の10%となる一定値とした.ひずみの測定は,所定の回数で疲労試験を中止し,静的載荷により図-1 に示す位置に取付けたクリップゲ



図-1 疲労試験の概要

ージ,コンクリートゲージを用いて行った.なお,200 万回以上の疲労載荷でも破壊に至らなかった試験体については,後に静的試験を行った.

表-1 供試体の種類と配合

コンクリートの	W/ (C+EX)	繊維混入量	Gmax
種類	(%)	(vol.%)	(mm
SFRC	45	1.27	13
PL	45		13

(*)EX:膨張材40kg/m³使用

表-2 使用したコンクリートの物性

コンクリートの	材齢	圧縮強度	ヤング率	直接引張強度
種類		(N/mm^2)	(kN/mm^2)	(N/mm^2)
SFRC	開始時	71.9	35.4	4.7
	終了時	72.6	34.6	-
PL	開始時	58.0	34.6	3.5
	終了時	61.2	35.7	-

キーワード SFRC 直接引張 引張疲労 疲労寿命

連絡先 〒 551-0021 大阪市大正区南恩加島 7-1-55 住友大阪セメント(株)

TEL: 06-6879-7618 FAX: 06-6879-7621

3. 試験結果と考察

3.1 静的引張特性

直接引張強度は表-2 に示すように SF の混入により約 1.4 倍となった . 図-2 に引張応力と引張ひずみの関係を示す . SFRC は PL に比べ弾性域の引張剛性が大きく $,100~\mu$ 以上の領域でも PL よりも優れた引張抵抗性を示した .

3.2 引張疲労特性

上限応力比(S)と繰返し回数(N)の関係を,同一配合の曲 げ疲労試験結果 1)とともに図-3 に示す.図中の は未破壊 データである . SFRC の引張疲労 S-N 曲線は PL の下方に 位置し,縦軸を上限応力比で表現した場合,直感的に鋼 繊維混入による耐疲労性の向上を評価できない.この傾 向は,SFRCの曲げ疲労試験結果と同様である.しかし, 実際には上限応力比の基となる静的引張破壊強度は SFRC の方が PL よりも大きく,縦軸を上限応力()とし て整理すると図-4 のようになる.これより,曲げ疲労の 場合と同様に SF 混入による耐疲労性の向上がうかがえ る.また,引張疲労の場合,S-N 曲線の傾きは,曲げ疲 労の傾きよりも小さい . σ-N 表現では , SFRC と PL の引 張疲労強度の差は曲げ疲労の場合ほど大きくはない. これらは,両載荷における応力状態の違い,ひいては 破壊進行過程の違いにあるものと考えられる.SFRC の 曲げ疲労ではひび割れが徐々に進展し破壊に至る状況 が確認できたが、直接引張疲労破壊では、可視ひび割 れの発生と同時に破壊に至った.今後,疲労ひずみ等 の測定データの解析を行い詳細検討を行う予定である.

3.3 破壊面の観察

静的試験終了後の試験体の破断面から突出している SF の長さを測定・観察した.SF 長さの合計を総抜け出し量,これを破断面の繊維本数で除した値を平均抜け出し量として,引張強度との関係で図-5 に示した.引張強度が大きいほど,総抜け出し量も大きく,より多くの SF で引張抵抗を分担したと考えられる.平均抜け出し量は SF 長さ 30mm に対して 5.8 ~ 6.5mm 程度であり, SF とコンクリートの付着劣化に加え SF 自身の破断も破壊原因として推察される.今後,疲労試験終了後の試験体のについても同様の観察を行い,静的破壊と疲労破壊のメカニズムの違いを検討する必要があろう.

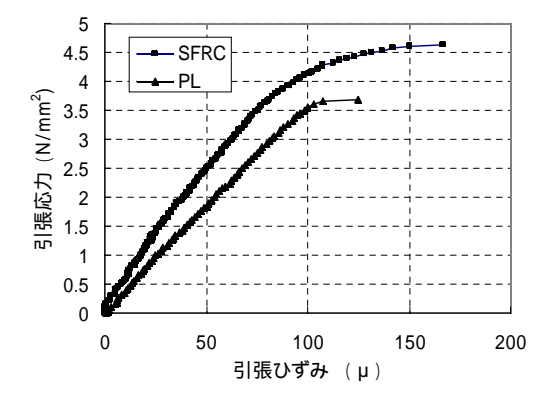


図-2 引張応力と引張ひずみの関係

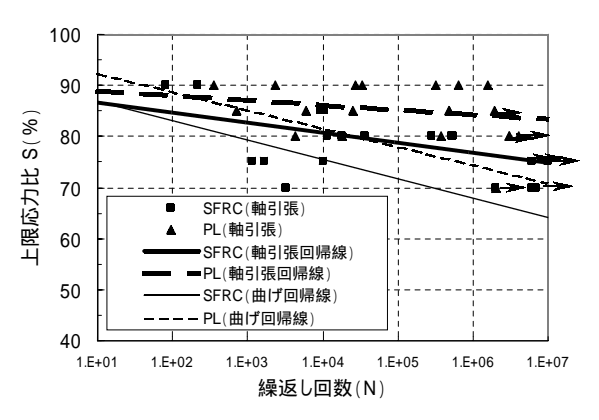


図-3 上限応力比と繰返し回数の関係 (S-N結果)

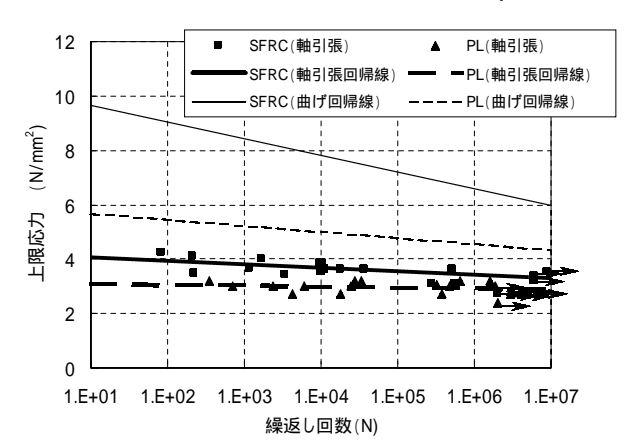


図-4 上限応力と繰返し回数の関係 (-N結果)

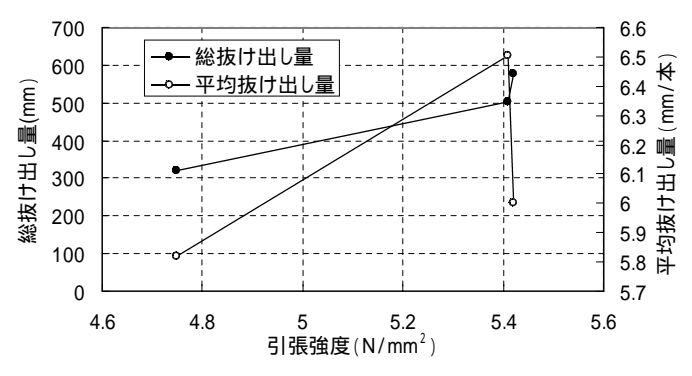


図-5 抜け出し量と直接引張強度の関係(静的)

【参考文献】

1)水越睦視、松井繁之、手塚光晴、内田美生:炭素繊維補強コンクリートの曲げ疲労性状、土木学会第54回 年次学術講演会講演概要集、pp.846-847, 1999.